

ICP-MS

Inductively Coupled Plasma Mass Spectrometry

Metoda ICP-MS (Inductively Coupled Plasma Mass Spectrometry) została skomercjalizowana w 1983 roku. Do chwili obecnej ok. 6000 instrumentów tego typu zostało zainstalowanych na świecie. Należy do grupy metod analitycznych umożliwiających szybką analizę wielopierwiastkową.

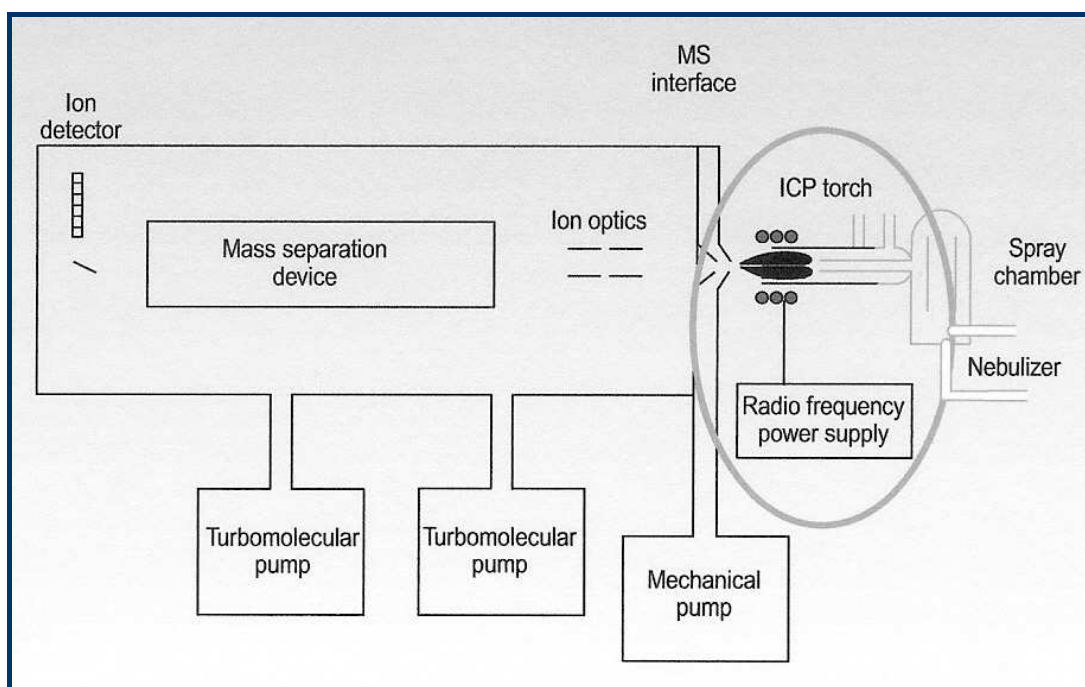
Metoda ICP-MS jest wywodzi się z metody ICP-OES (Inductively Coupled Plasma Optical Emission Spectroscopy). W metodzie ICP-OES elektrony w atomach analizowanych elementów w próbce zostają wzbudzone do wyższych poziomów energetycznych przy pomocy plazmy grzanej indukcyjnie. Atomy te, wracając do stanu podstawowego, emitują promieniowanie o określonych długościach fali (widmo emisyjne) które jest następnie analizowane przez układ optyczny (siatka dyfrakcyjna) i rejestrowane poprzez odpowiednie detektory.

W procesie grzania indukcyjnego część z atomów próbki ulega jonizacji. W metodzie ICP-MS, zamiast analizy promieniowania emitowanego przez elementy próbki wprowadzonej do plazmy, stosuje się separację jonów poszczególnych pierwiastków w oparciu o metody spektrometrii mas.

Zasadnicze elementy spektrometru ICP-MS:

- rozpylacz próbek
- palnik plazmowy
- układ grzania indukcyjnego
- układ sprzęgający
- analizator mas
- detektor jonów
- układ pomp

Schemat blokowy spektrometru ICP-MS

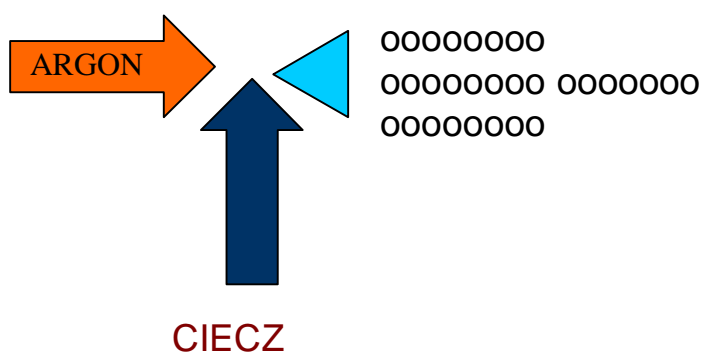


I. ROZPYLACZ PRÓBEK (nebulizer, spray chamber)

Podstawowe zadanie rozpylacza – przeprowadzenie analizowanego roztworu do formy aerozolu (zawiesiny drobnych kropelek).

Najczęściej stosowany sposób generacji aerozolu:

- przepływ gazu (argon) przez prostopadły strumień cieczy



Selekcja kropelek aerozolu:

- efektywny proces dysocjacji w plazmie wymaga małych kropelek (średnica 5 do 10 μm)

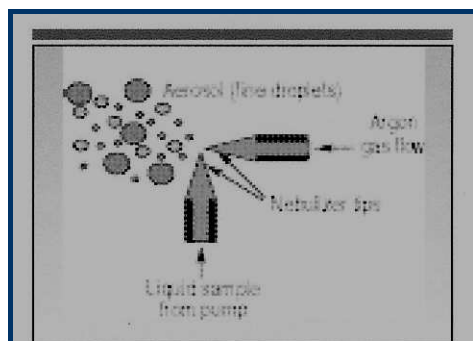


Figure 3. Conceptual representation of aerosol generation with an ICP-MS nebulizer.

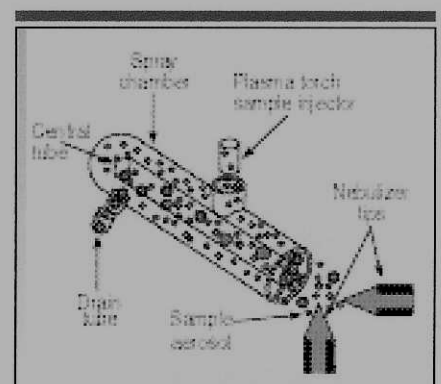


Figure 4. Simplified representation of the separation of large and fine droplets in the spray chamber.

Dwa podstawowe rozwiązania:

- komora z podwójnym przepływem
- komora cykloidalna

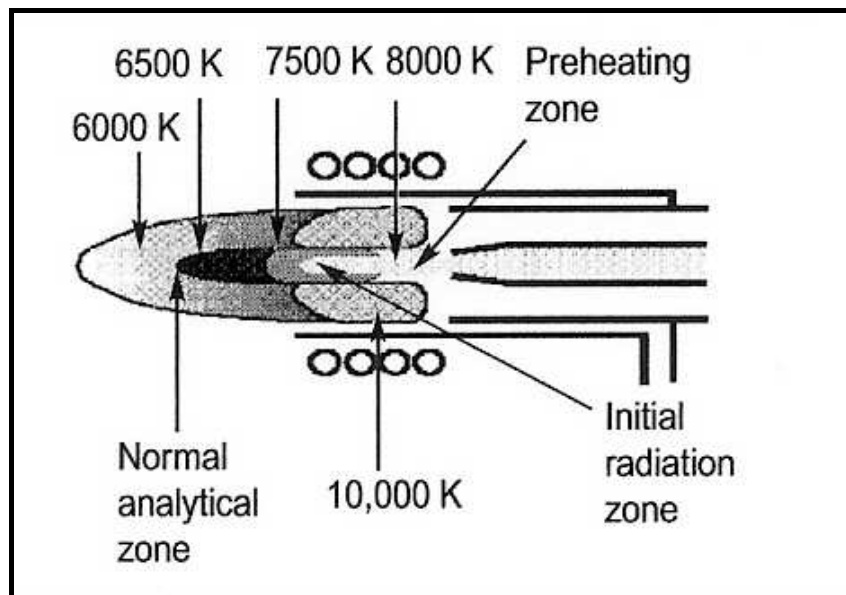
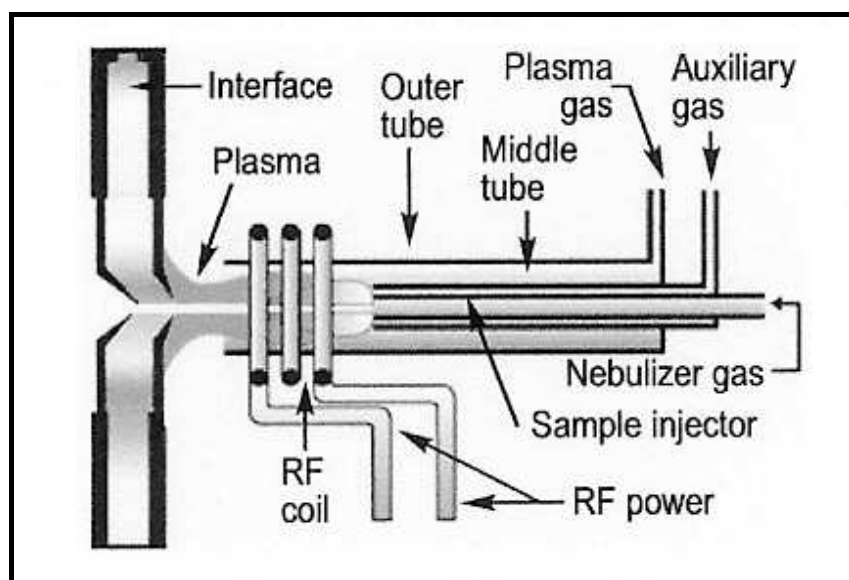
Typowe przepływy próbki:

- około 1 ml/min (ok. 1 l/min Ar)
- ok. 0.1 ml/min dla specjalnych rozwiązań

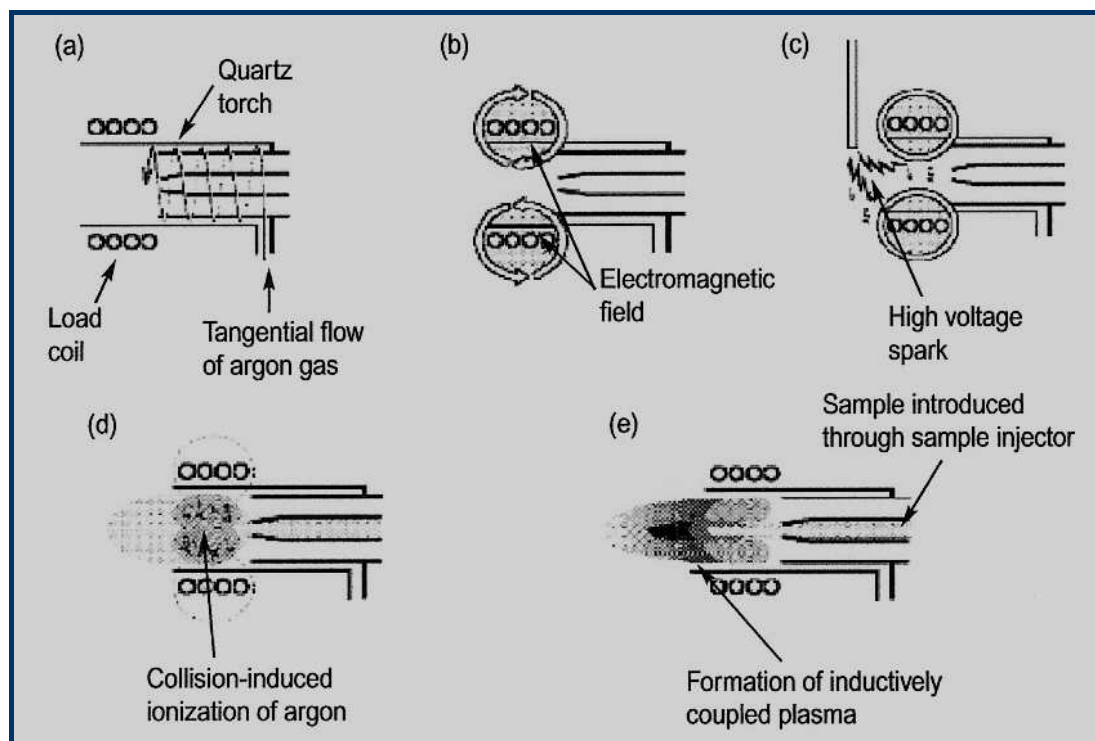
II. ŹRÓDŁO PLAZMY

Podstawowe rozwiązanie obecnie stosowane:
plazma grzana indukcyjnie

Ogólny widok palnika plazmowego:

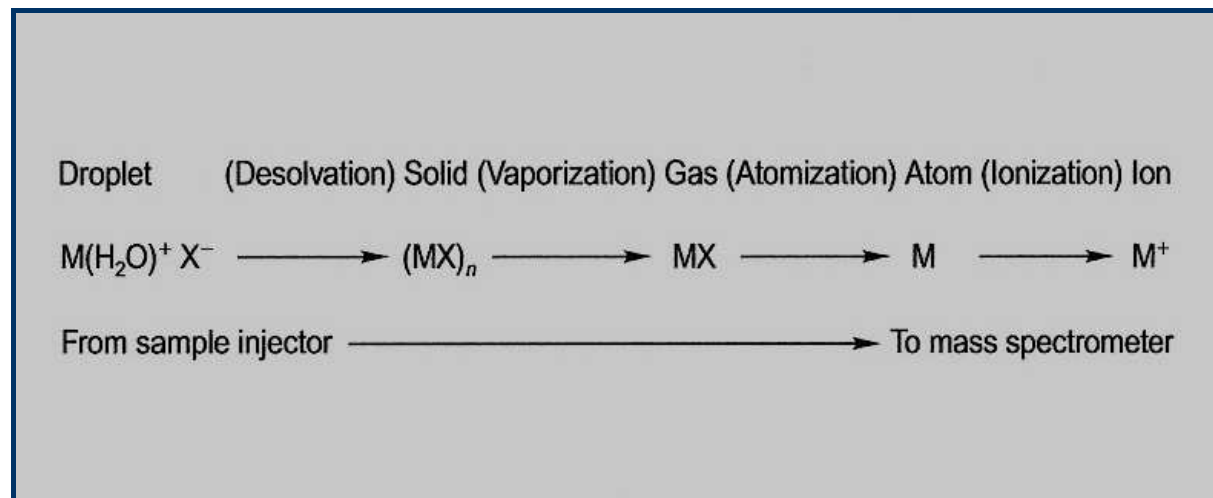


Formowanie plazmy:



- przepływ spiralny Ar wokół zewnętrznej i środkowej rury palnika (12-17 l/min);
- wytworzenie zmiennego pola B przez przepuszczenie przez cewkę prądu wysokiej częstotliwości z generatora RF (750 – 1500 W; 27 bądź 40 MHz);
- zainicjowanie wyładowania elektrycznego w obszarze zmiennego pola B (produkcja swobodnych elektronów);
- swobodne elektrony są przyspieszane w polu B (siła Lorentza), zderzają się z atomami Ar i powodują jego jonizację;
- na wyjściu palnika plazmowego formuje się plazma w której wprowadzana jest próbka (~ 1 l/min).

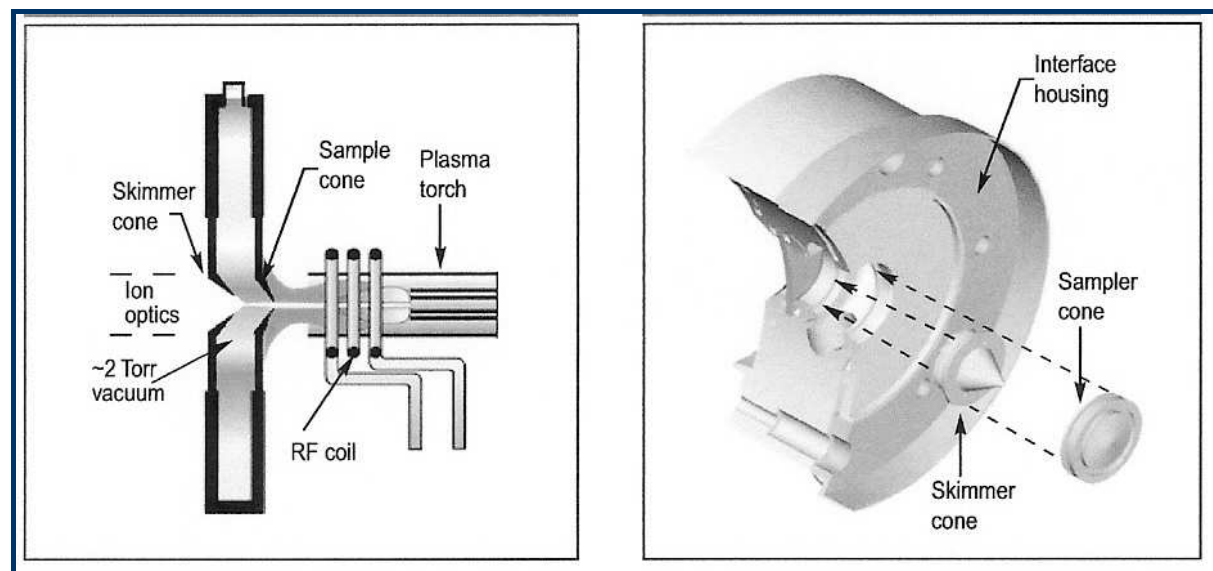
Transformacja próbki do jonów dodatnich:

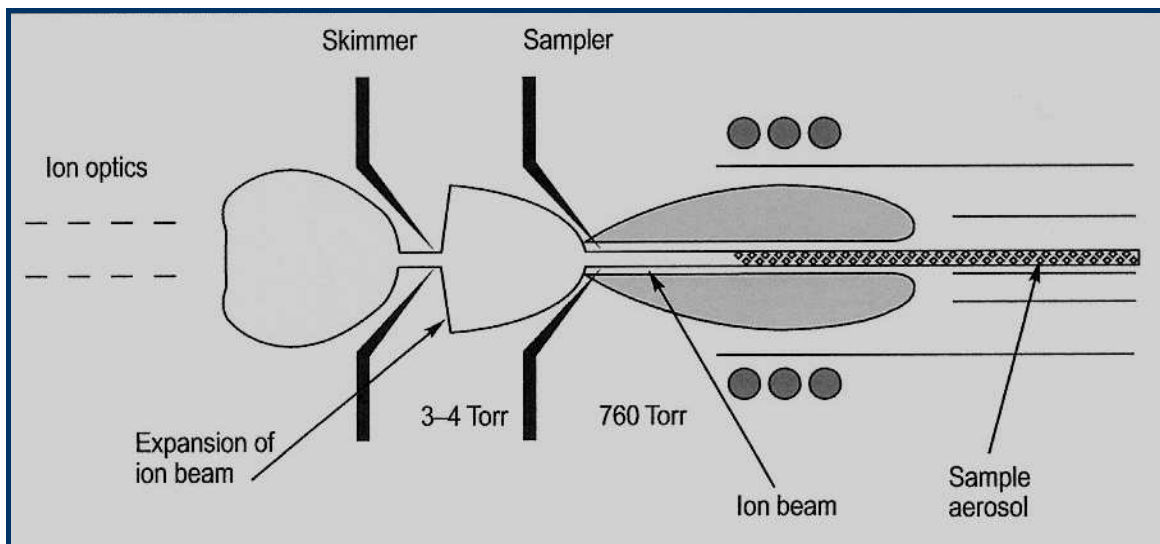


- (a) odparowanie wody (desolvacja)
- (b) odparowanie próbki stałej
- (c) dysocjacja na atomy
- (d) jonizacja

III. SPRZĘŻENIE OBSZARU PLAZMY Z OBSZAREM SEPARACJI JONÓW (interfejs).

Najbardziej krytyczny obszar w całym przyrządzie.





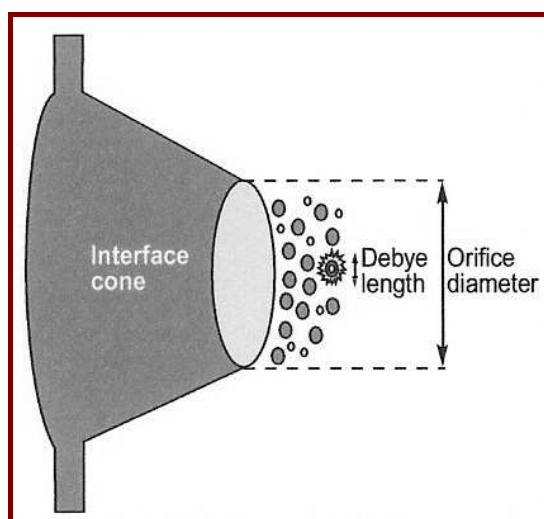
Wymiary szczelin:

- Szczelina próbkująca: 0.8 – 1.2 mm
- Szczelina ogniskująca: 0.4 – 0.8 mm

Główny problem we wczesnych rozwiązaniach :

Sprzężenie pojemnościowe między pomiędzy cewką indukcyjną a plazmą (100 – 200 V) powodujące wyładowania między plazmą i szczeliną próbkującą

Rozwiązanie: uziemienie cewki indukcyjnej w środku powodujące spadek potencjału cewki względem plazmy do kilku V.



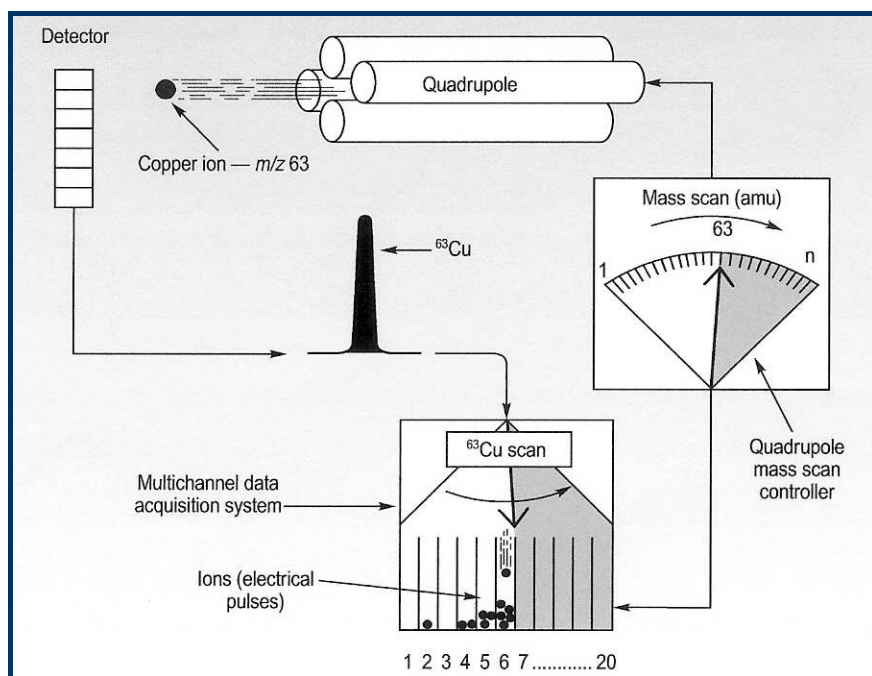
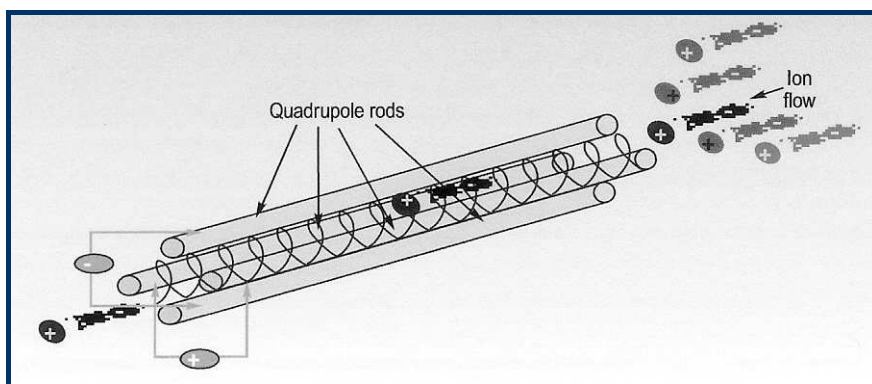
rozmycie energetyczne jonów: ~ 5 - 10 eV

IV. ANALIZATOR MAS

Jako analizatory mas wykorzystuje się następujące typy analizatorów mas:

- analizatory kwadrupolowe
- analizatory magnetyczne z podwójnym ogniskowaniem
- analizatory czasu przelotu
- komory kolizyjne

W okresie pierwszych dziesięciu lat komercjalizacji ICP -MS do separacji jonów stosowano głównie spektrometry kwadrupolowe. Obecnie, spektrometry ICP-MS z analizatorem kwadrupolowym stanowią ok. 90 % wszystkich maszyn obecnych na rynku.



Typowa szerokość 20 kanałów na jednostkę masy. Typowe szybkości skanowania: 2500 amu na sekundę – stąd całkowity zakres mas 0 – 300 amu może być przeskanowany w czasie ok. 0,1 s. W praktyce, szybkości skanowania są znacznie mniejsze:

25 elementów może być wyznaczonych z dobrą precyją w czasie 1-2 minut.

Parametry charakteryzujące jakość analizy przy pomocy analizatora kwadrupolowego: **rozdzielcość oraz natężenie piku**.

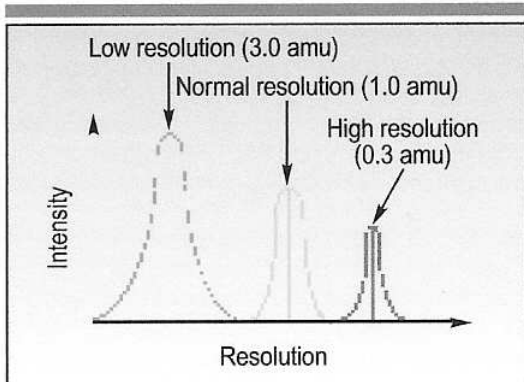


Figure 5. Sensitivity comparison of a quadrupole operated at 3.0, 1.0, and 0.3 amu resolution (measured at 10% of its peak height).

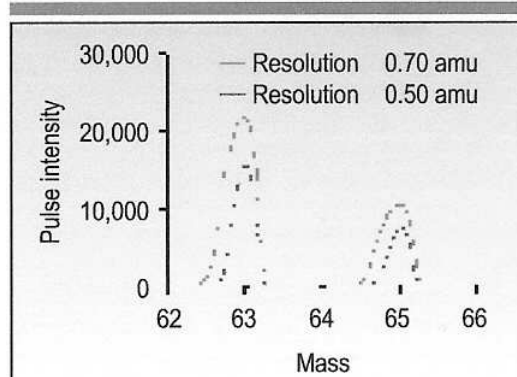
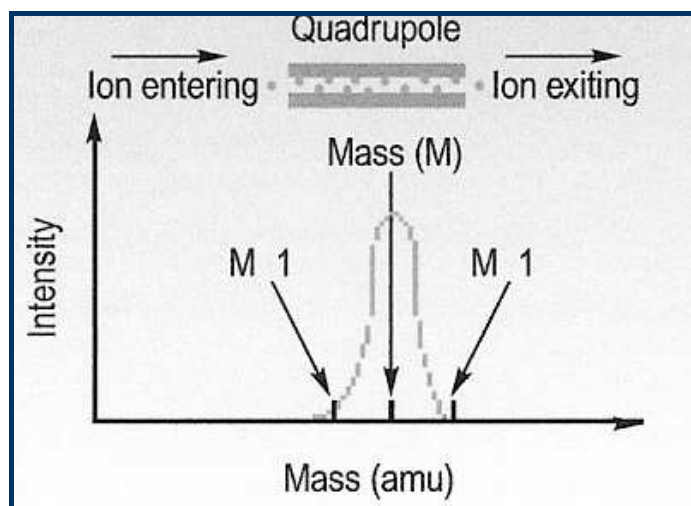


Figure 6. Sensitivity comparison of two copper isotopes, ^{63}Cu and ^{65}Cu , at resolution settings of 0.70 and 0.50 amu.

Jony wchodzące do spektrometru kwadrupolowego są częściowo spowolnione przez proces filtrowania i dają piki asymetryczne:



Analizatory magnetyczne z podwójnym ogniskowaniem

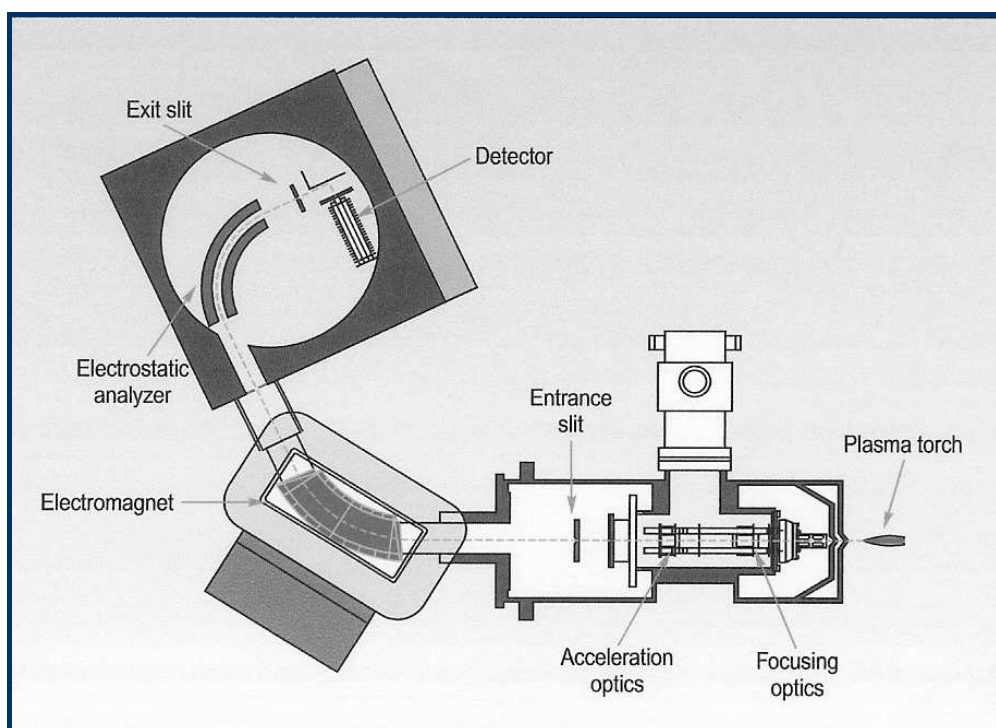
Rozdzielcość rzędu 0,7 – 1,0 amu uzyskiwana przez analizatory kwadrupolowe nie jest wystarczająca dla elementów które podlegają spektralnym interferencjom (Fe, K, As, V, Cr....). Stąd w późnych latach 80-tych wprowadzono sektorowe analizatory magnetyczne i analizatory z podwójnym ogniskowaniem.

Rozdzielcość $m/\Delta m$:

Kwadrupol - ~ 300

Analizator magnetyczny z podwójnym ogniskowaniem - ~ 10000

Główne problemy technologiczne polegały na odseparowaniu wysokiego potencjału przyspieszającego od obszaru plazmy.



Stosuje się zarówno rozwiązania z analizatorem elektrostatycznym przed magnesem sektorowym jak i za nim.

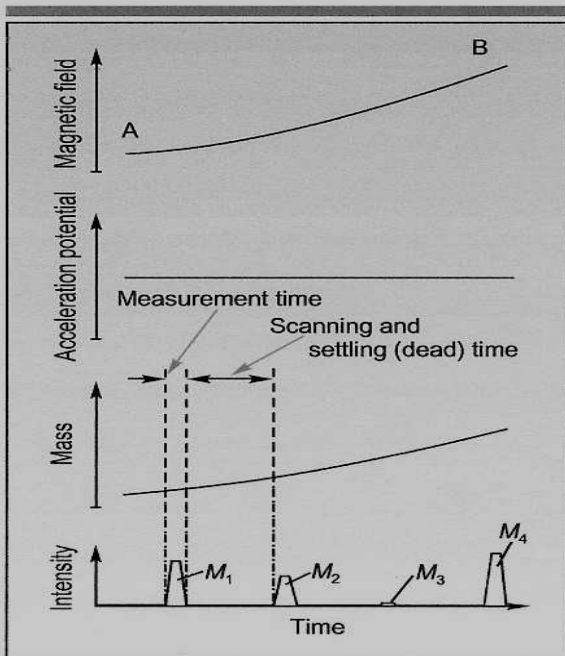


Figure 2. A plot of magnetic field strength, accelerating voltage (fixed), mass, and signal intensity over time for four separate masses (M_1 – M_4). Note that only the magnet is scanned, while the accelerating voltage is fixed — resulting in long scan times between the masses.

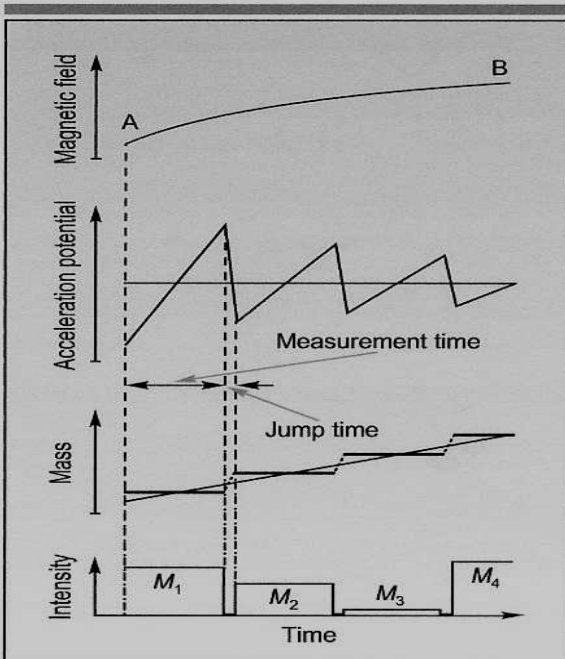


Figure 3. A plot of magnetic field strength, accelerating voltage (changed), mass, and signal intensity over time for the same four masses (M_1 – M_4). This time, in addition to the magnet being scanned, the accelerating voltage is also changed, resulting in rapid electric jumps between the masses.

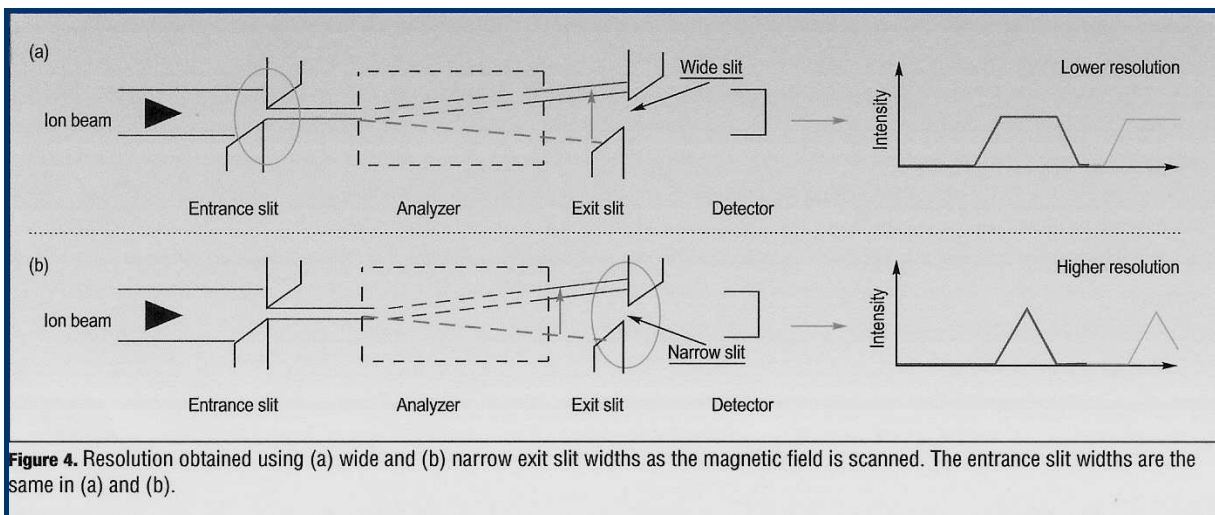


Figure 4. Resolution obtained using (a) wide and (b) narrow exit slit widths as the magnetic field is scanned. The entrance slit widths are the same in (a) and (b).

Table I. Resolution required to resolve some common polyatomic interferences from a selected group of isotopes.

Isotope	Matrix	Interference	Resolution	Transmission
39K	H ₂ O	³⁸ ArH	5570	6%
40Ca	H ₂ O	⁴⁰ Ar	199,800	0%
44Ca	HNO ₃	¹⁴ N ¹⁴ N ¹⁶ O	970	80%
56Fe	H ₂ O	⁴⁰ Ar ¹⁶ O	2504	18%
31P	H ₂ O	¹⁵ N ¹⁶ O	1460	53%
34S	H ₂ O	¹⁶ O ¹⁸ O	1300	65%
75As	HCl	⁴⁰ Ar ³⁵ Cl	7725	2%
51V	HCl	³⁵ Cl ¹⁶ O	2572	18%
64Zn	H ₂ SO ₄	³² S ¹⁶ O ¹⁶ O	1950	42%
24Mg	Organics	¹² C ¹² C	1600	50%
52Cr	Organics	⁴⁰ Ar ¹² C	2370	20%
55Mn	HNO ₃	⁴⁰ Ar ¹⁵ N	2300	20%

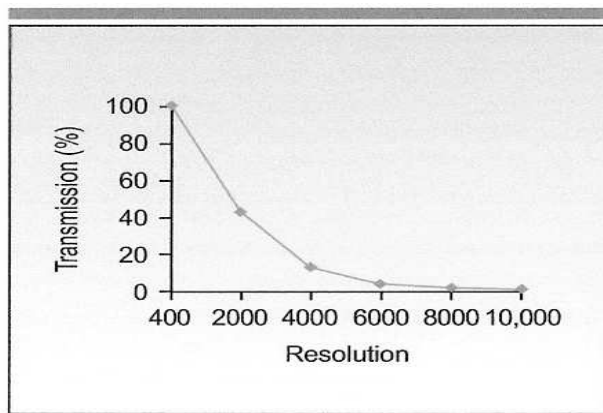


Figure 5. Ion transmission with a magnetic-sector instrument decreases as the resolution increases.

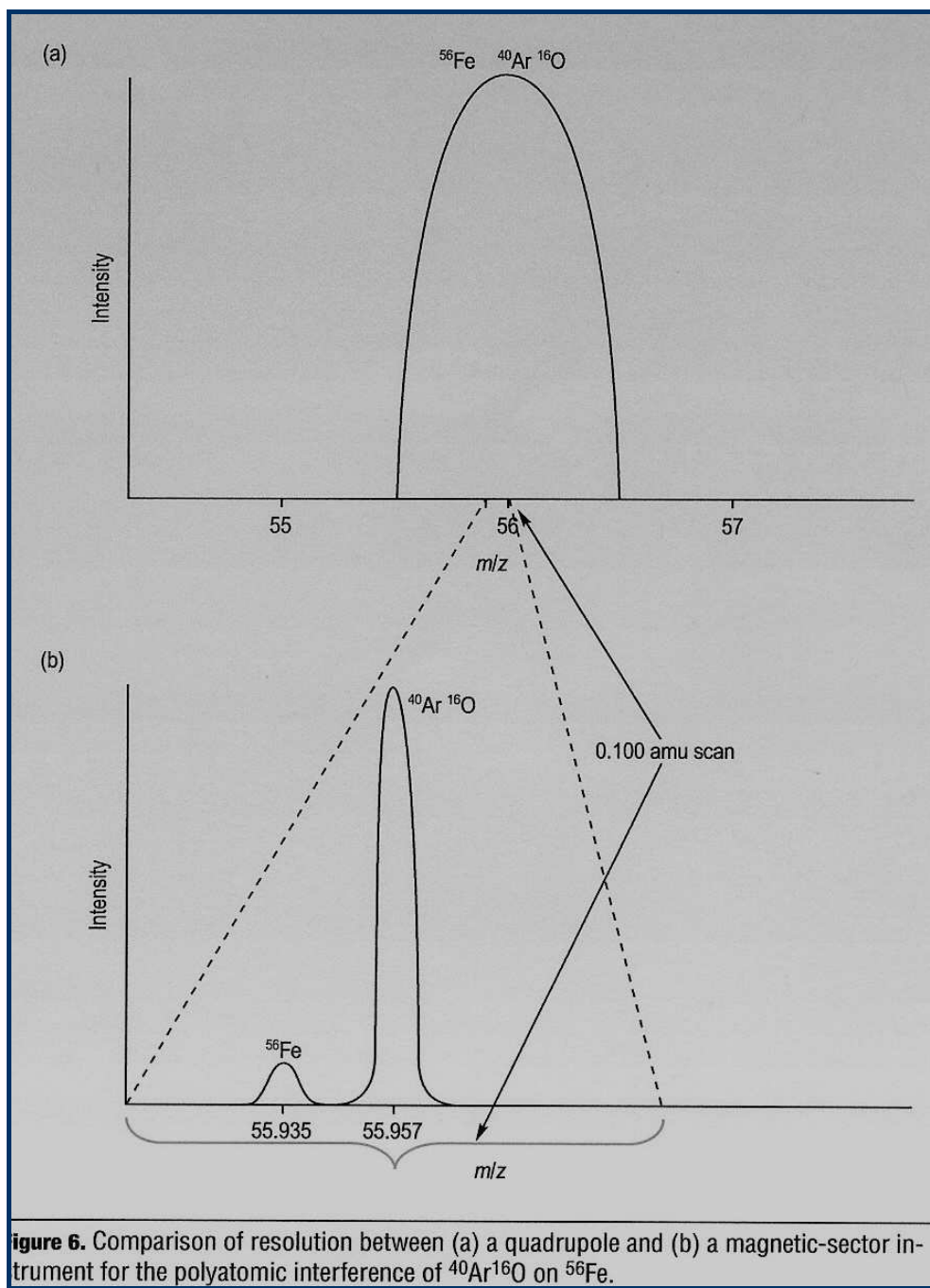


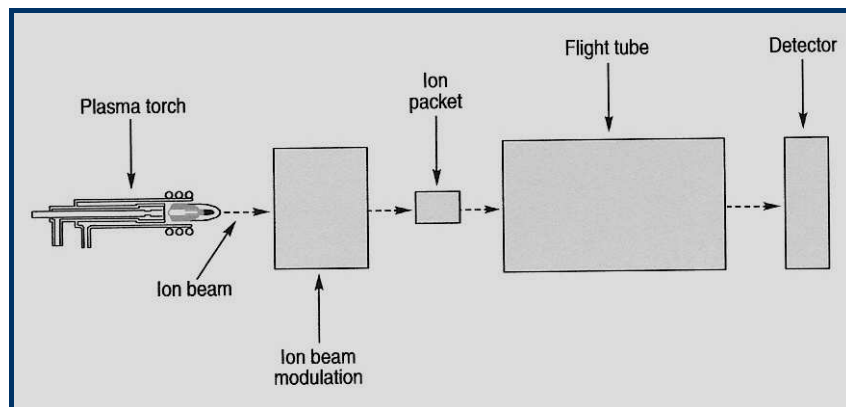
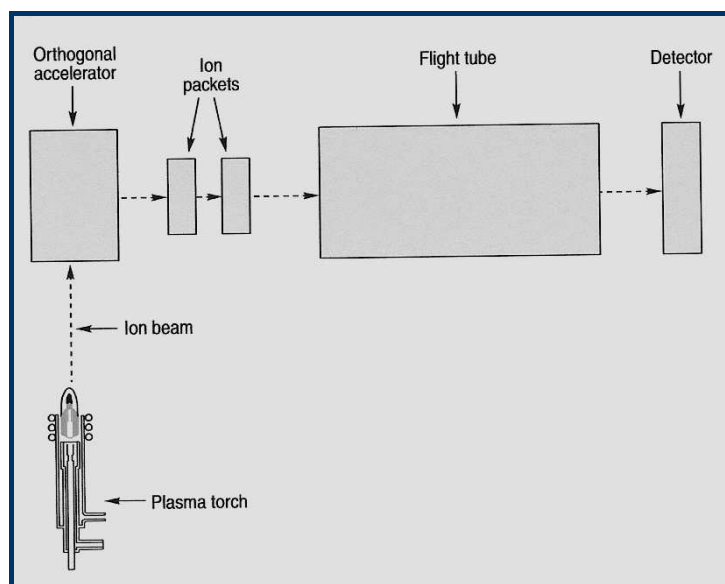
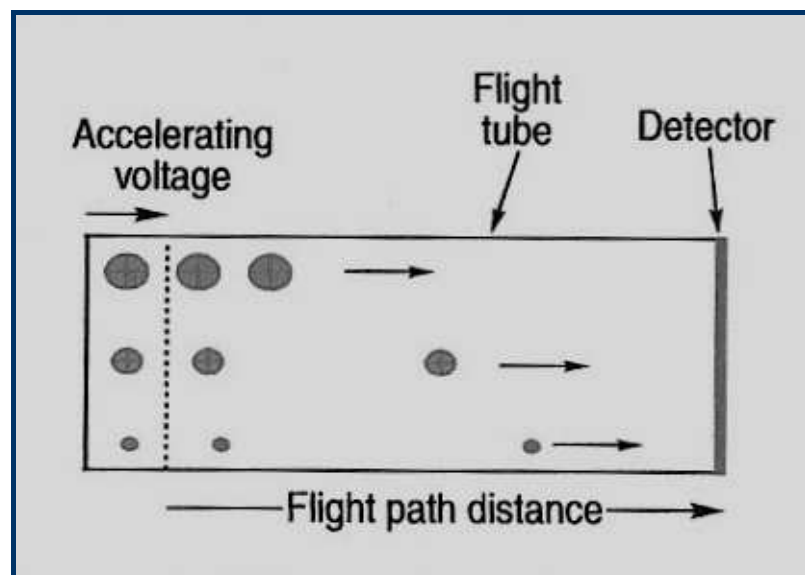
figure 6. Comparison of resolution between (a) a quadrupole and (b) a magnetic-sector instrument for the polyatomic interference of $^{40}\text{Ar}^{16}\text{O}$ on ^{56}Fe .

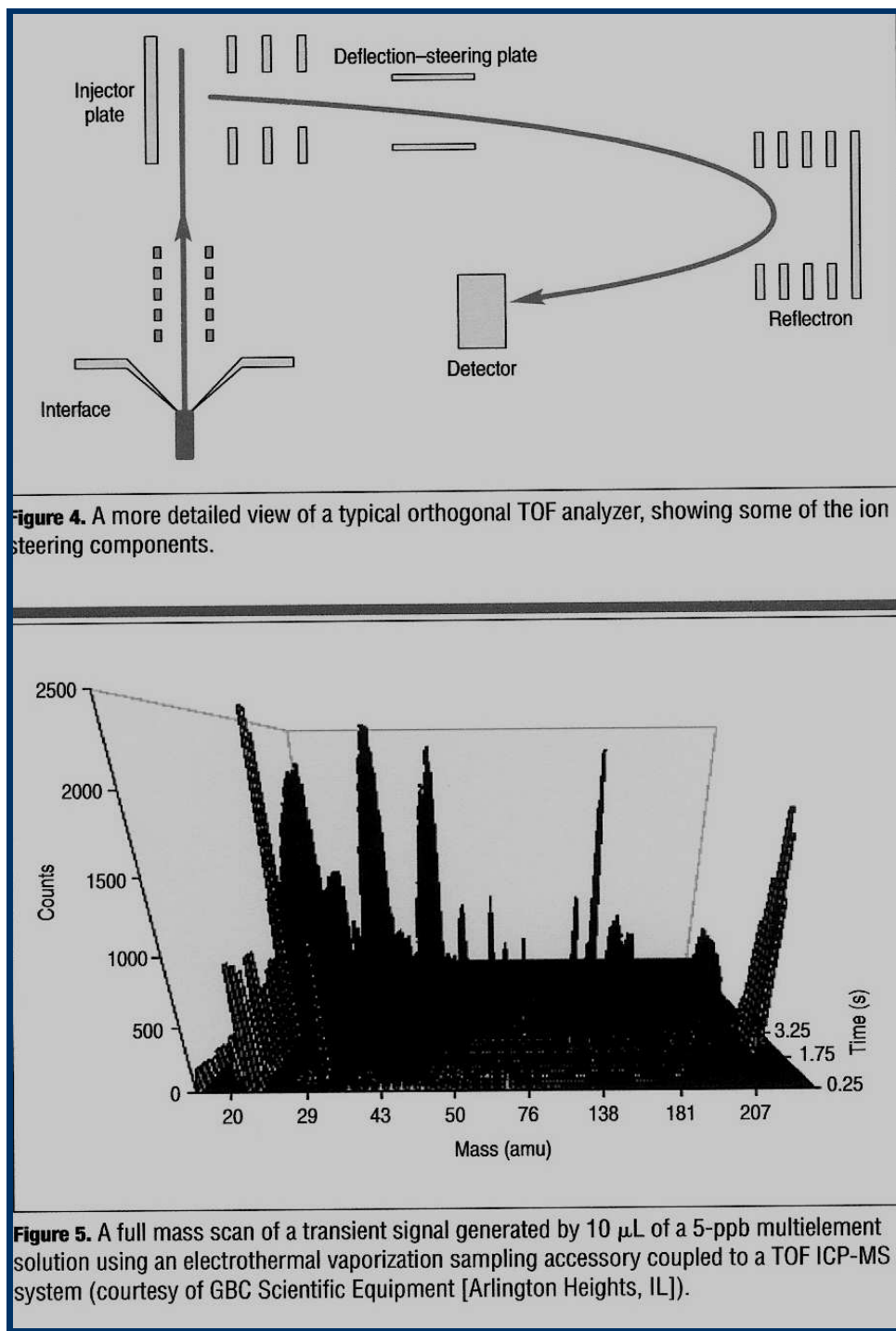
Analizatory TOF (Time-of-Flight)

Technika TOF została wprowadzona do spektrometrii ICP-MS w ostatnich kilkunastu latach. Technika ta posiada unikatowe cechy predysponujące ją szczególnie do wielo-elementowej analizy szybkich sygnałów generowanych przez specjalne urządzenia próbujące:

- odparowanie laserowe (laser ablation)
- odparowanie elektrotermiczne

Jest również przydatna w analizie stosunków izotopowych oraz w sytuacjach gdzie jest ograniczona wielkość próbki.





Typowa rozdzielczość ($m/\Delta m$) - **500-2000**

Cały zakres mas może być rejestrowany w czasie krótszym niż 50 μs !

Możliwość użycia wewnętrznego standardu (spike).

Wysoka precyzja metody TOF umożliwia jej wykorzystanie do analiz stosunków izotopowych z wysoką precyzją.

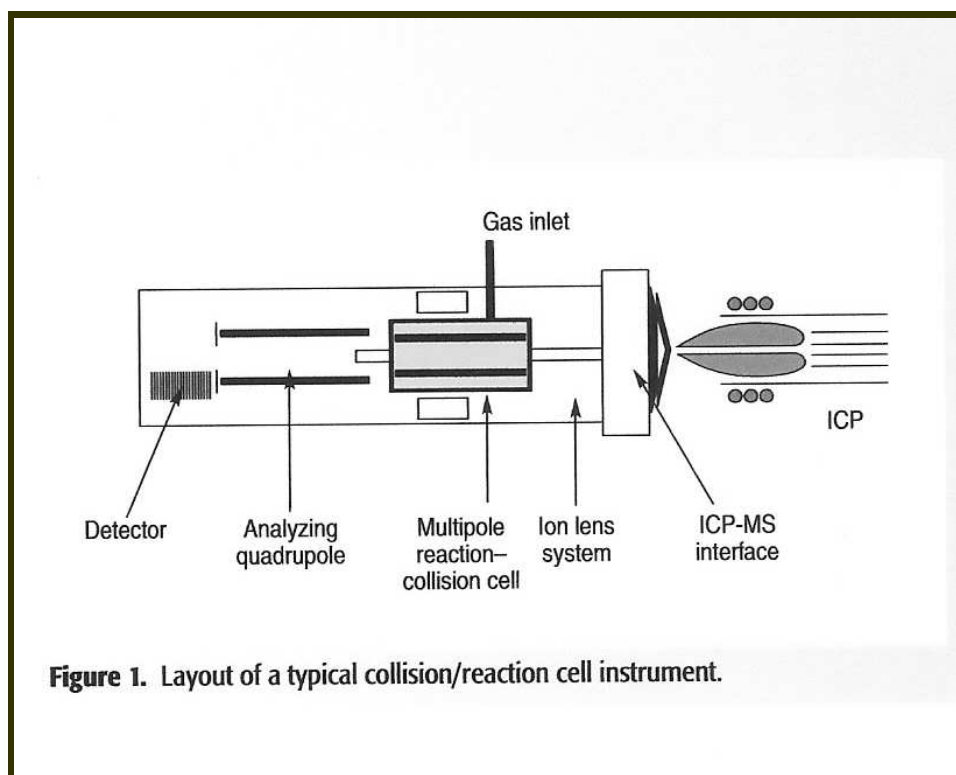
Redukcja interferencji spektralnych przy pomocy komór kolizyjno-reakcyjnych.

Nowe podejście do głównego problemu ograniczającego wykrywalność w spektrometrach ICP-MS (interferencje spektralne)

Przykłady interferencji spektralnych:

- $^{40}\text{Ar}^{16}\text{O}$ przy oznaczaniu ^{56}Fe
- ^{38}ArH przy oznaczaniu ^{39}K
- ^{40}Ar przy oznaczaniu ^{40}Ca
- $^{40}\text{Ar}^{40}\text{Ar}$ przy oznaczaniu ^{80}Se
- $^{40}\text{Ar}^{35}\text{Cl}$ przy oznaczaniu ^{75}As
- $^{40}\text{Ar}^{12}\text{C}$ przy oznaczaniu ^{52}Cr
- $^{35}\text{Cl}^{16}\text{O}$ przy oznaczaniu ^{51}V

Komora kolizyjno reakcyjna umieszczona jest przed analizatorem kwadrupolowym:



Schemat działania dynamicznej komory kolizyjno-reakcyjnej:

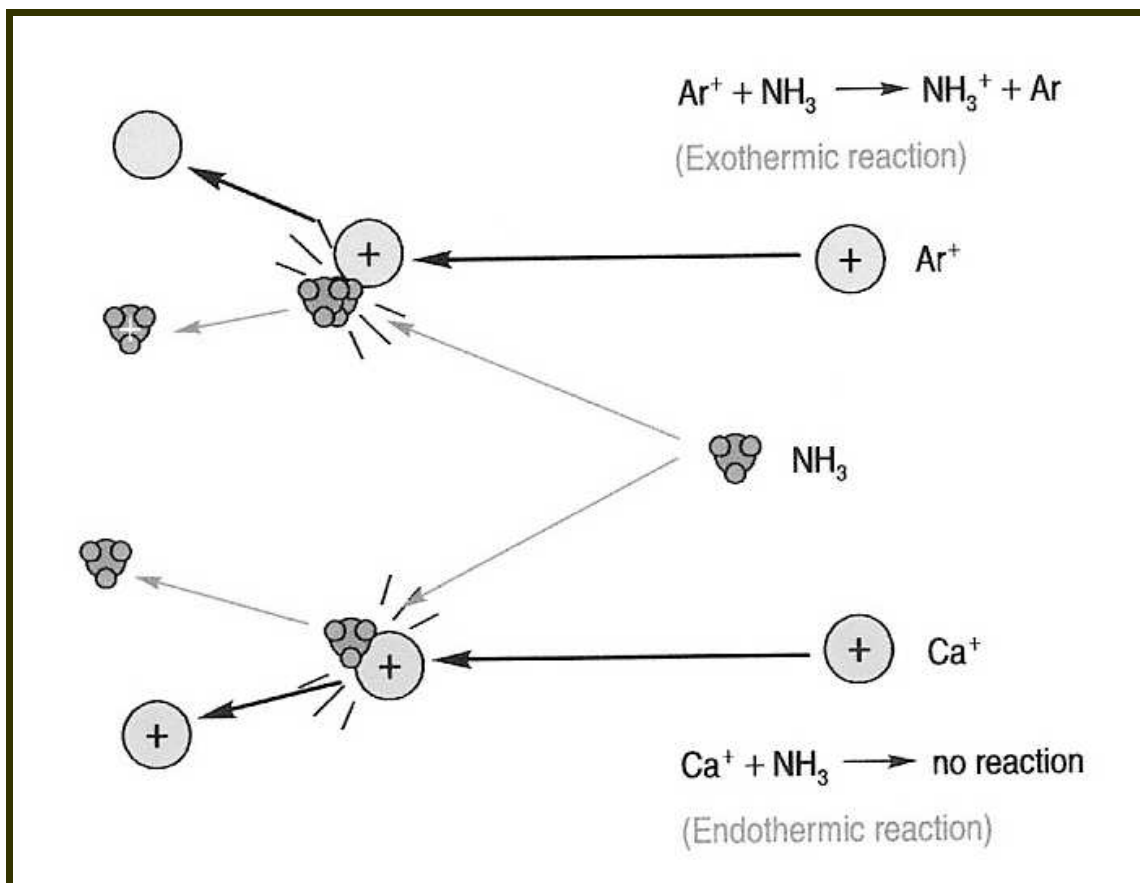
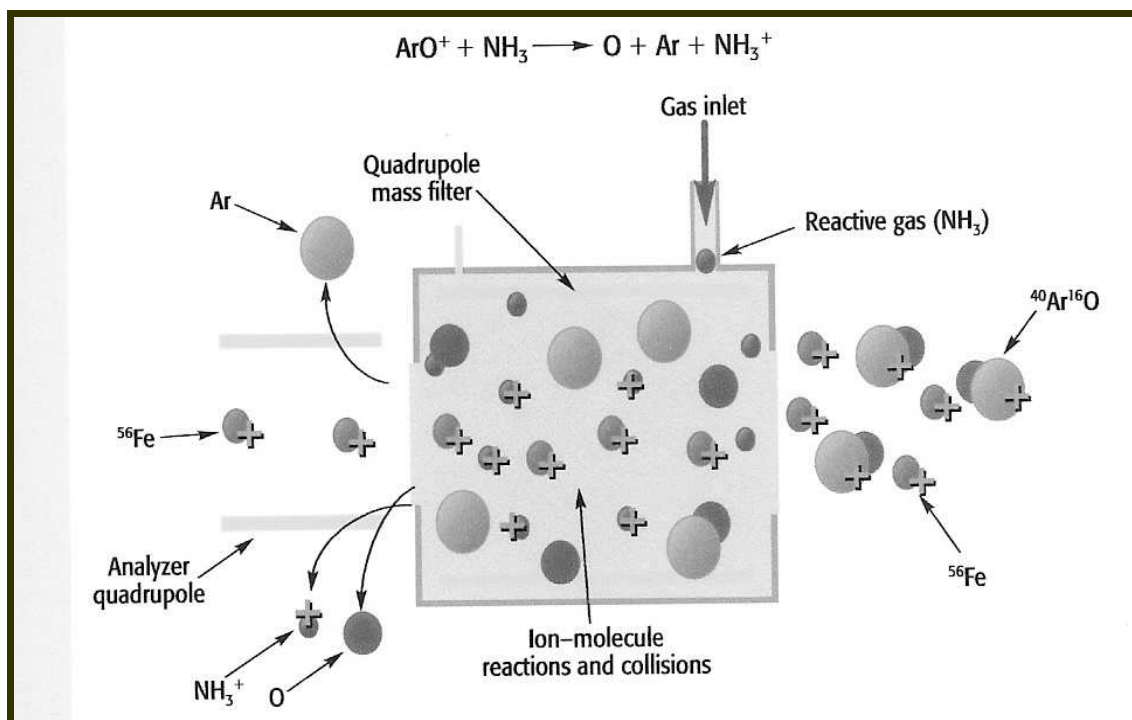
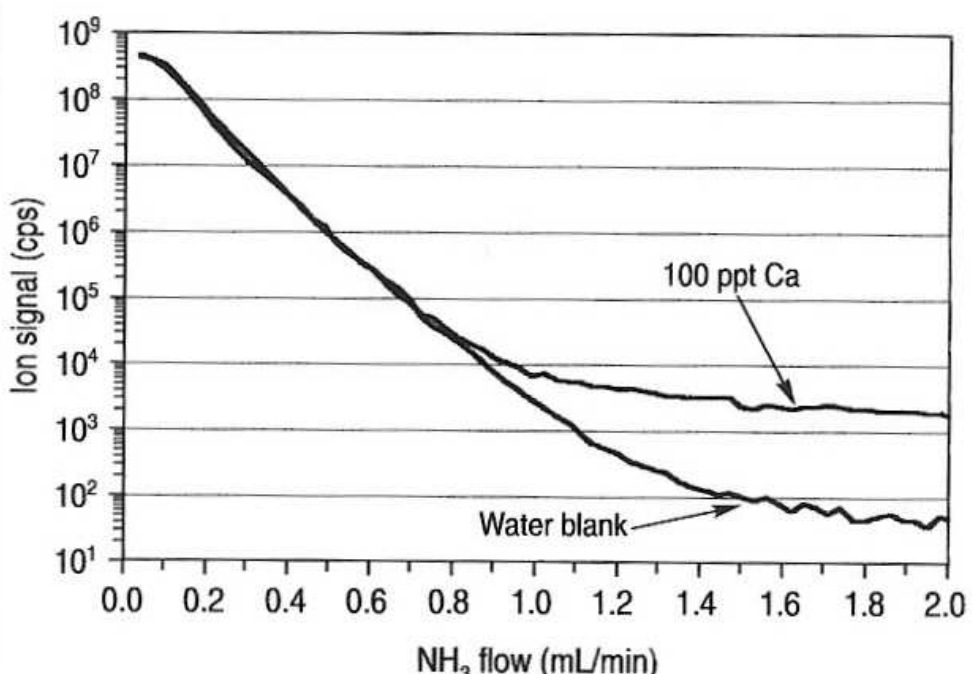


Table II. Typical detection limits in ppt of an ICP-MS system fitted with a dynamic reaction cell (9).

Analyte	Detection Limit (ppt)	Analyte	Detection Limit (ppt)
Li	0.08	Co	0.07
Be	0.6	^{60}Ni	0.4
B	1.1	Zn	1
Na	0.3	As	1.2
Mg	0.6	Se*	5
Al	0.07	Sr	0.02
K*	1	Rh	0.01
$^{40}\text{Ca}^*$	1	In	0.01
V*	0.3	Sb	0.06
Cr*	0.25	Cs	0.03
Mn*	0.09	Pb	0.03
$^{56}\text{Fe}^*$	0.15	U	0.01

Redukcja tła o 7 rzędów wielkości !!

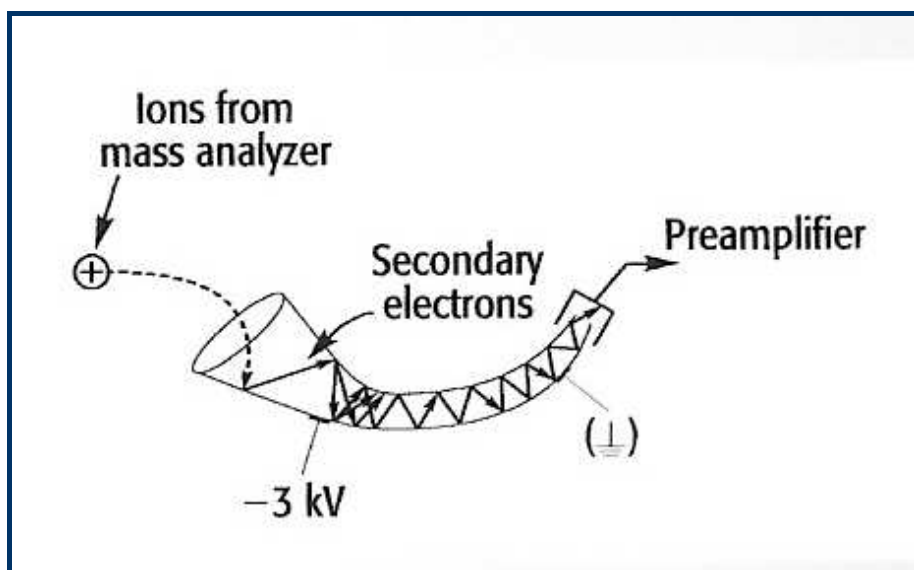


Detektory:

W rozwoju ICP-MS wykorzystano szereg rozwiązań wcześnie znanych ze spektrometrii mas, jak również wprowadzono nowe rozwiązania specyficzne dla tej techniki.

Wczesne rozwiązania detektorów obejmowały tylko 5 rzędów wielkości mierzonego sygnału.

Czanneltron



Wewnętrzna część detektora pokryta jest materiałem półprzewodnikowym. Wzmocnienie czanneltronu jest rzędu 10^6 - 10^8 . Główny problem: czas martwy detektora rzędu 30-50 ns.

Puszka Faradaya

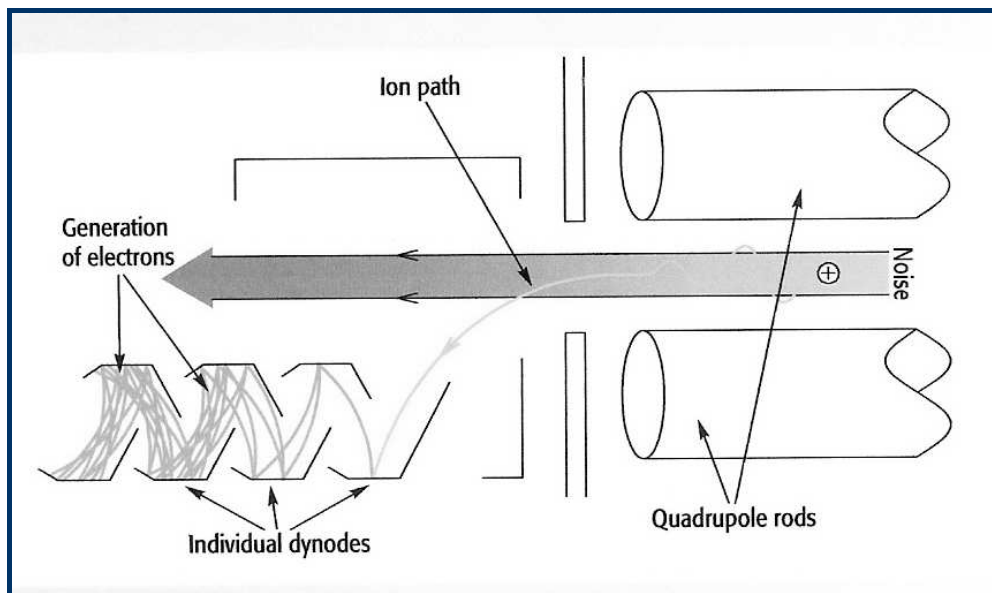
Przy zastosowaniach gdzie nie wymagane są bardzo niskie poziomy wykrywalności, możliwe jest wykorzystanie klasycznego sposobu detekcji jonów przy pomocy puszki Faradaya. Główne problemy:

- dolny zakres detekcji rzędu 10^4 imp/s
- duża stała czasowa stosowana w stopniu wzmacniającym (limituje zastosowania do szybkich skanów)

Obecnie detektor Faradaya wykorzystywany w zastosowaniach z analizatorem magnetycznym, szczególnie tam gdzie występują wysokie prądy jonowe, przy pomiarach stosunków izotopowych z wykorzystaniem multi-kolektorowych układów detekcyjnych.

Mnożnik elektronów z dyskretną dynodą:

Detektory te noszą niekiedy nazwę aktywnych filmów. Zasada działania jest podobna do channeltronu. Wzmacnianie sygnału elektronowego odbywa się przy pomocy dyskretnych elementów wzmacniających.



Technika zliczania impulsów daje dynamiczny zakres pomiarowy rzędu 10^5 . Oznacza to że krzywe kalibracyjne są liniowe w zakresie od ppt do kilkuset ppb.

Sposoby rozszerzenia zakresu pomiarowego:

- **filtrowanie wiązki jonowej**

Sygnal jonowy jest filtrowany poprzez przyłożenie odpowiedniego napięcia na jedną z par elektrod kwadrupla.

Problem: operator musi z góry wiedzieć z jakimi koncentracjami będzie miał do czynienia!

- **zastosowanie dwóch różnych detektorów** (channeltron i puszka Faradaya). Problem: szybkie przełączanie wiązki pomiędzy detektorami.

- **zastosowanie jednego detektora pracującego w dwóch trybach**: cyfrowym (zliczanie impulsów) oraz analogowym (zredukowanie napięcia).

Wykonuje się dwa skany dla danego pomiaru: pierwszy skan w trybie analogowym (mierzony są elementy o wysokich koncentracjach) i drugi skan w trybie cyfrowym (mierzony elementy o niskich koncentracjach).

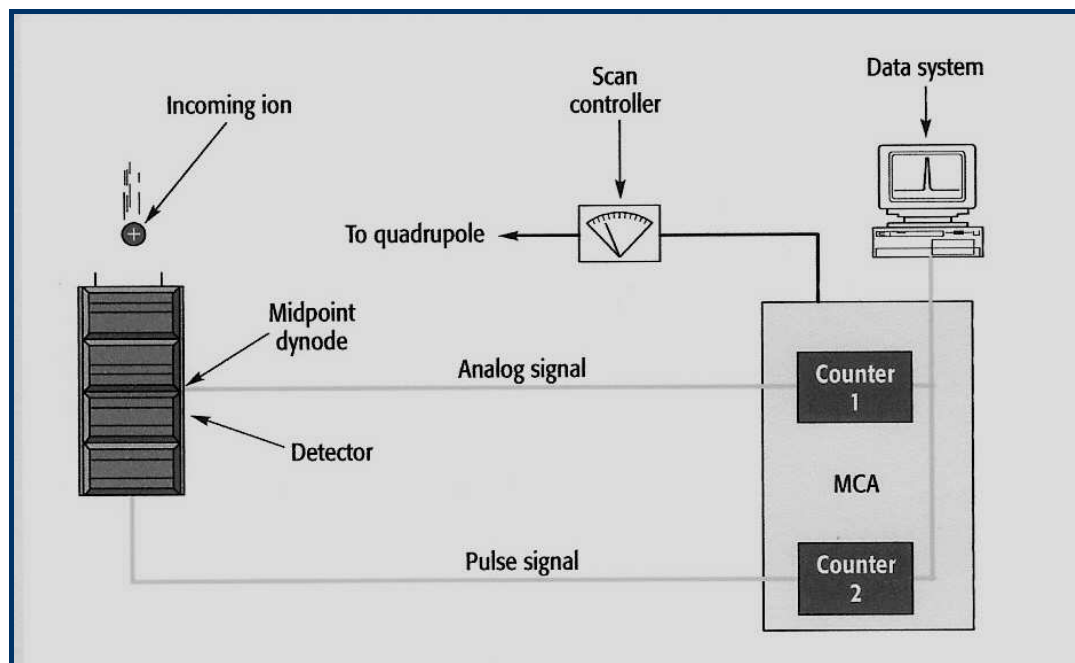
Główną wadą tego podejścia jest konieczność wykonywania dwóch skanów dla jednej próbki. W przypadku krótkich impulsów parosekundowych (elektrotermiczne odparowanie, próbkowanie laserowe) nie wystarcza czasu na podwójne skany.

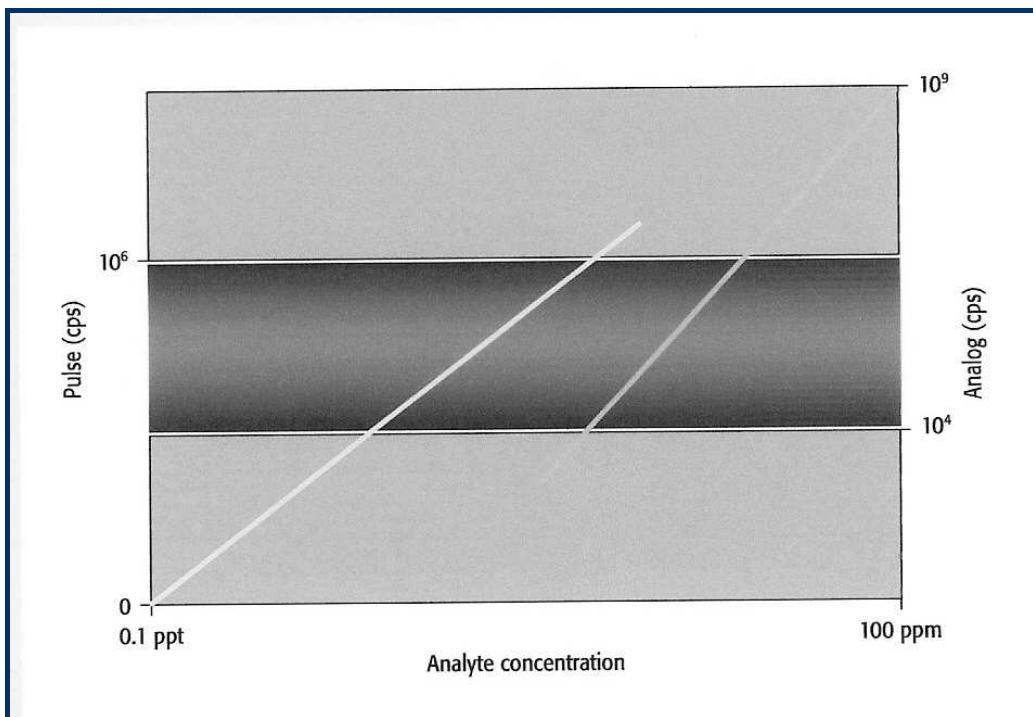
- **zastosowanie dwustopniowego detektora z dyskretną dynodą**

W tej technologii mierzony jest sygnał analogowy i cyfrowy w obrębie jednego skanu. Detektor mierzy sygnał analogowy w połowie detektora. Jeżeli wielkość sygnału jest większa od założonej wartości progowej sygnał jest przetwarzany przez układ analogowy i zliczany. Jeżeli rejestrowana jest mniejsza wartość sygnału, sygnał wzmacniany jest w drugiej części detektora i zliczany jak sygnał cyfrowy.

zakres sygnału cyfrowego: $0 - 10^6$ imp/s.

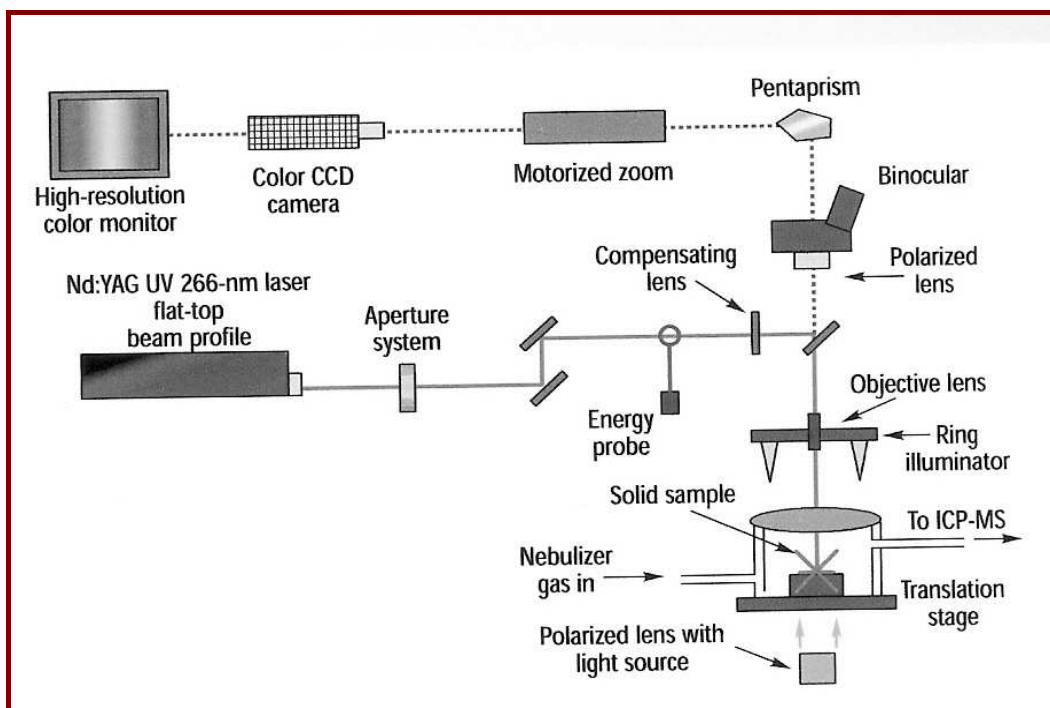
zakres sygnału analogowego $10^4 - 10^9$ imp/s.





Specjalne metody przygotowania próbek

A. Laserowe próbkiowanie w mikroobszarze



Przykład zastosowania:

Figure 2. (right) Image taken by a petrographic microscope of the surface of a thin section of a garnet sample, showing 10- μm spot sizes (red circles).

Figure 3. (far right) 10- μm -diameter spot showing the flat-top energy distribution.

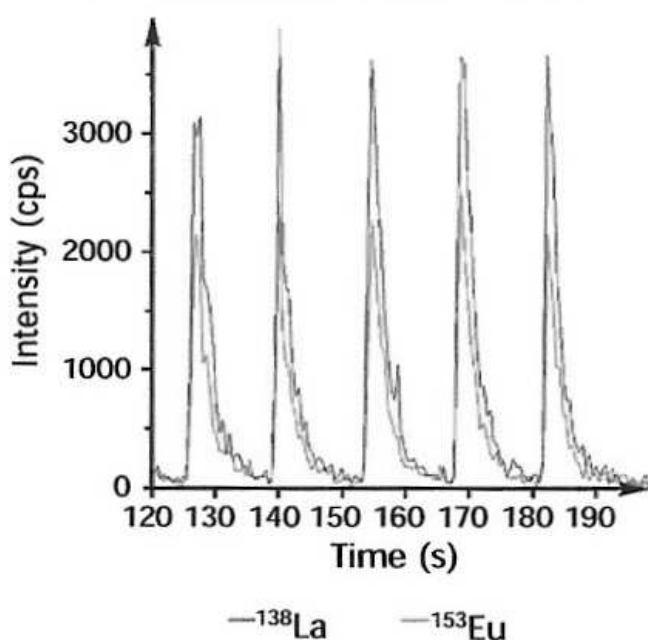
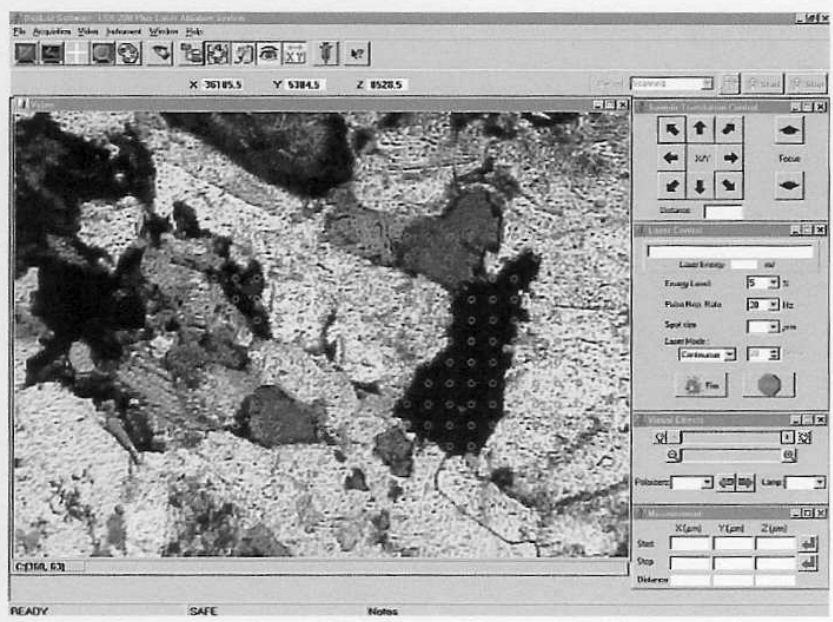


Figure 4. Signal response of five single-shot ablations for ^{138}La and ^{153}Eu in NIST 612 glass (using a PerkinElmer Instruments [Shelton, CT] SCIEX ELAN 6000 ICP-MS system).

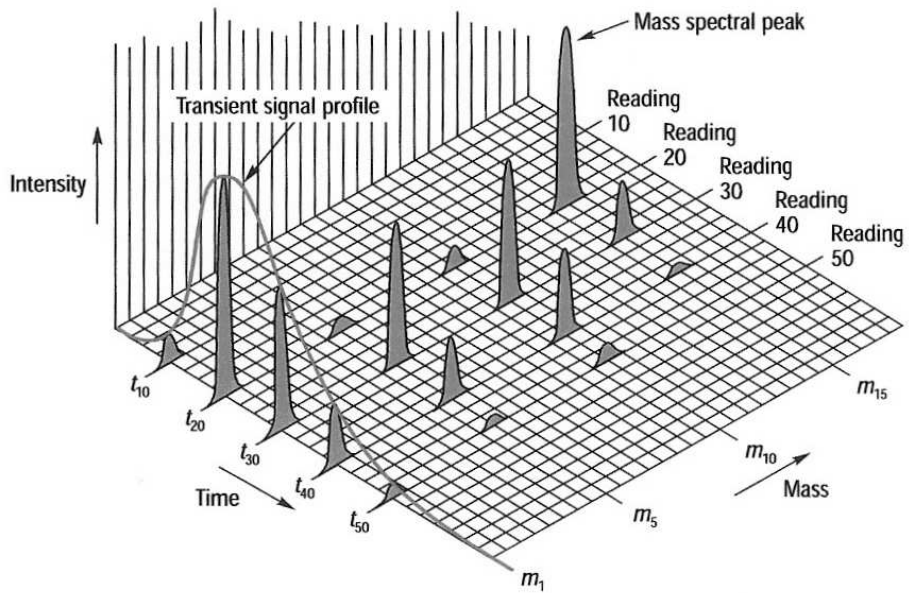


Figure 7. A 3-D plot of analyte intensity versus mass in the time domain for the determination of a group of elements in a transient peak.

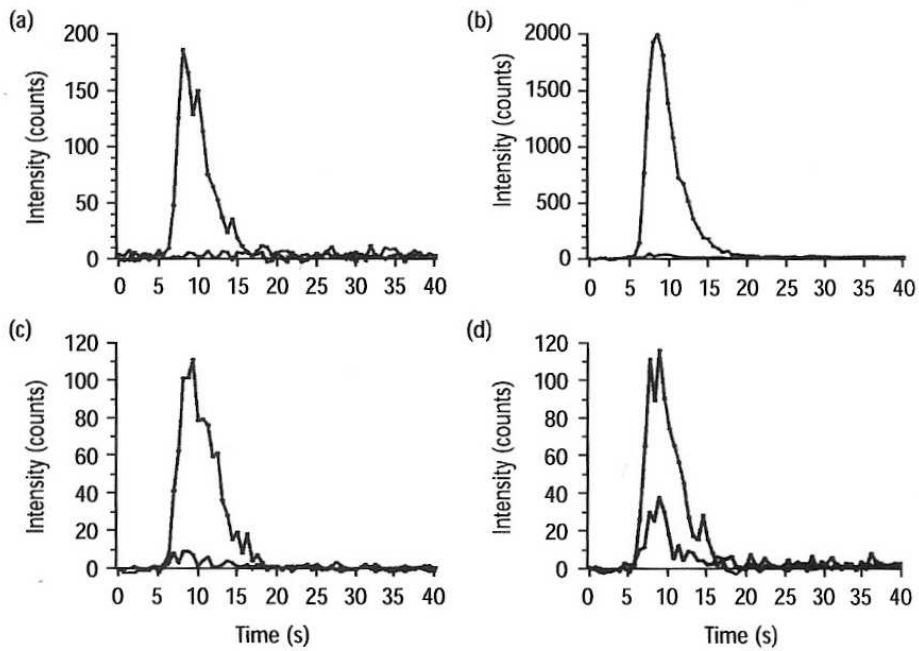


Figure 8. Analyte and blank spectral scans of (a) Co, (b) Cu, (c) Cd, and (d) Pb in NASS-4 open-ocean seawater certified reference material, using flow injection coupled to an ICP-MS system.

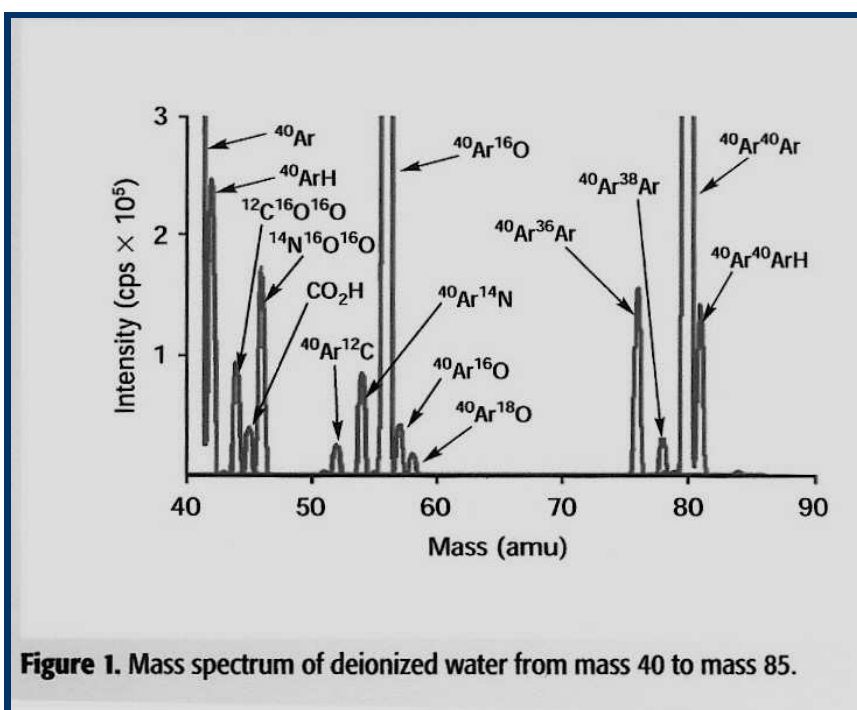
PROBLEMY ANALITYCZNE W POMIARACH ICP-MS:

Problemy analityczne występujące w pomiarach ICP-MS mogą być sklasyfikowane w trzech grupach:

- interreferencje spektralne
- efekty matrycy
- efekty związane z ładunkiem przestrzennym

INTEREFERENCJE SPEKTRALNE:

Interferencje spektralne stanowią najtrudniejszy problem w pomiarach ICP-MS.



Do tej grupy należą interferencje pochodzące od jonów molekularnych (najczęściej ^{40}Ar), jonów poliatomowych oraz jonów podwójnie naładowanych.

Table I. Some common plasma, matrix, and solvent-related polyatomic spectral interferences seen in ICP-MS.

Element/ Isotope	Matrix/ solvent	Interference
³⁹ K	H ₂ O	³⁸ ArH
⁴⁰ Ca	H ₂ O	⁴⁰ Ar
⁵⁶ Fe	H ₂ O	⁴⁰ Ar ¹⁶ O
⁸⁰ Se	H ₂ O	⁴⁰ Ar ⁴⁰ Ar
⁵¹ V	HCl	³⁵ Cl ¹⁶ O
⁷⁵ As	HCl	⁴⁰ Ar ³⁵ Cl
²⁸ Si	HNO ₃	¹⁴ N ¹⁴ N
⁴⁴ Ca	HNO ₃	¹⁴ N ¹⁴ N ¹⁶ O
⁵⁵ Mn	HNO ₃	⁴⁰ Ar ¹⁵ N
⁴⁸ Ti	H ₂ SO ₄	³² S ¹⁶ O
⁵² Cr	H ₂ SO ₄	³⁴ S ¹⁸ O
⁶⁴ Zn	H ₂ SO ₄	³² S ¹⁶ O ¹⁶ O
⁶³ Cu	H ₃ PO ₄	³¹ P ¹⁶ O ¹⁶ O
²⁴ Mg	Organics	¹² C ¹² C
⁵² Cr	Organics	⁴⁰ Ar ¹² C
⁶⁵ Cu	Minerals	⁴⁸ Ca ¹⁶ OH
⁶⁴ Zn	Minerals	⁴⁸ Ca ¹⁶ O
⁶³ Cu	Seawater	⁴⁰ Ar ²³ Na

Table II. Some elements that readily form oxides, hydroxides, or hydrides and doubly charged species in the plasma and the analyte affected by the potential interference.

Oxide/hydroxide/ hydride doubly charged species	Analyte
⁴⁰ Ca ¹⁶ O	⁵⁶ Fe
⁴⁸ Ti ¹⁶ O	⁶⁴ Zn
⁹⁸ Mo ¹⁶ O	¹¹⁴ Cd
¹³⁸ Ba ¹⁶ O	¹⁵⁴ Sm, ¹⁵⁴ Gd
¹³⁹ La ¹⁶ O	¹⁵⁵ Gd
¹⁴⁰ Ce ¹⁶ O	¹⁵⁶ Gd, ¹⁵⁶ Dy
⁴⁰ Ca ¹⁶ OH	⁵⁷ Fe
³¹ P ¹⁸ O ¹⁶ OH	⁶⁶ Zn
⁷⁹ BrH	⁸⁰ Se
³¹ P ¹⁶ O ₂ H	⁶⁴ Zn
¹³⁸ Ba ²⁺	⁶⁹ Ga
¹³⁹ La ²⁺	⁶⁹ Ga
¹⁴⁰ Ce ²⁺	⁷⁰ Ge, ⁷⁰ Zn

Interferencje izobaryczne – wywołane przez izotopy innych pierwiastków obecnych w próbce.

Relative Abundance of the Natural Isotopes															
Isotope	%	%	%	Isotope	%	%	%	Isotope	%	%	%	Isotope	%	%	%
1 H	99.985			61 Ni	1.140			121 Sb	57.36			181 Ta	99.988		
2 H	0.015			62 Ni	3.634			122 Te	2.603			182 W	26.3		
3 He	0.000137			63 Cu	69.17			123 Te	9.098	Sb	42.64	183 W	14.3		
4 He	He 99.99963			64 Zn	48.6	Ni	0.926	124 Te	5.79	Te	4.816	Xe	0.10	184 Os	0.02
5 Li	7.5			65 Cu	30.83			125 Te	7.139			185 Re	37.40		
6 Li	Li 92.5			66 Zn	27.9			126 Te	18.95	Xe	0.09	186 Os	1.58	W	28.6
7 Be	100			67 Zn	4.1			127 I	100	Te	31.69	Xe	1.91	187 Os	1.6
8 Be	B 19.9			68 Zn	18.8			128 Te	128	Xe	26.4	188 Os	13.3	Re	62.60
9 Be	B 80.1			69 Ga	60.108			129 Ba	0.106	Te	33.80	Xe	4.1	189 Os	16.1
10 Ge	21.23	Zn	0.6	70 Ga	39.892			130 Ba	0.106	Te	33.80	Xe	4.1	190 Os	26.4
11 Ne	0.27			71 Ge	27.66			131 Xe	21.2			191 Ir	37.3		
12 Ne	9.25			72 Ge	7.73			132 Ba	0.101	Ce	100	Xe	26.9	192 Os	41.0
13 Na	100			73 Ge	35.94	Se	0.89	133 Ce	100			193 Ir	62.7	Pt	0.79
14 N	99.643			74 Ge	7.44	Se	9.36	134 Ba	2.417			194 Pt	32.9		
15 N	N 0.366			75 As	100			135 Ba	6.592			195 Pt	33.8		
16 O	O 99.762			76 Ge	7.44	Se	9.36	136 Ba	7.854	Ce	0.19	Xe	8.9	196 Hg	0.15
17 O	O 0.038			77 Se	7.63			137 Ba	11.23			197 Au	100	Pt	25.3
18 O	O 0.200			78 Kr	0.35	Se	23.78	138 Ba	71.70	Ce	0.25	La	0.0902	Hg	9.97
19 F	F 100			79 Br	50.69			139 La	99.9098			199 Hg	16.87	Pt	7.2
20 Ne	90.48			80 Kr	2.25	Se	49.61	140 Ce	88.48			200 Hg	23.10		
21 Ne	0.27			81 Br	49.31			141 Nd	27.13	Ce	11.08	Pr	100	201 Hg	13.18
22 Ne	9.25			82 Kr	11.6	Se	8.73	142 Nd	12.18			202 Hg	29.86		
23 Na	100			83 Kr	11.5			143 Nd	23.80	Sm	3.1	203 Al	29.524		
24 Mg	Mg 78.99			84 Kr	57.0	Sr	0.56	144 Rb	72.165	145 Nd	8.30	204 Hg	6.87		
25 Mg	Mg 10.00			85 Kr	2.80			146 Nd	17.19	147 Nd	17.19	205 Pb	24.1	Tl	70.476
26 Mg	Mg 11.01			86 Kr	17.3	Sr	9.86	148 Nd	20.18	149 Nd	5.76	206 Pb	22.1		
27 Al	Al 100			87 Sr	7.00	Rb	27.835	149 Nd	24.84	150 Nd	5.64	207 Pb	52.4		
28 Si	Si 92.23			88 Sr	82.58			151 Nd	21.86	152 Tb	100	208 Bi	100		
29 Si	Si 4.67			89 Y	100			153 Nd	21.86	154 Dy	2.34	209 Zr	51.45		
30 Si	Si 3.10			90 Zr	11.22			155 Nd	11.22	156 Gd	0.20	210 Eu	47.8		
31 P	P 100			91 Zr	17.15	Mo	14.84	157 Nd	11.22	158 Gd	2.18	211 Sm	22.7		
32 S	S 95.02			92 Zr	9.25	Nb	100	159 Nd	11.22	160 Gd	20.47	212 Sm	22.7		
33 S	S 0.75			93 Zr	17.38	Mo	9.25	161 Nd	11.22	162 Gd	21.8	213 Sm	22.7		
34 S	S 4.21			94 Zr	5.95	Mo	15.92	163 Nd	11.22	164 Gd	24.89	214 Sm	22.7		
35 Cl	Cl 75.77			95 Zr	2.80	Mo	16.68	165 Nd	11.22	166 Gd	33.6	215 Sm	22.7		
36 S	S 0.02			96 Zr	24.13	Mo	9.55	167 Nd	11.22	168 Nd	22.95	216 Tb	100		
37 Cl	Cl 24.23			97 Mo	24.13	Mo	12.7	169 Nd	11.22	170 Nd	26.8	217 Yb	0.13		
38 Ar	Ar 0.063			98 Mo	9.63	Ru	12.6	171 Nd	11.22	172 Nd	14.9	218 Tm	100		
39 K	K 93.2581			99 Ru	31.6			173 Nd	11.22	174 Nd	31.8	219 Hf	0.162		
40 K	K 0.0117			100 Pd	1.02	Rh	100	175 Lu	97.41	176 Lu	2.59	220 Ta	0.012	Pa	100
41 K	K 6.7302			101 Pd	11.14	Ru	18.7	177 Lu	12.7	178 Lu	12.7	221 Th	100		
42 Ca	Ca 0.647			102 Pd	22.33	Cd	1.25	179 Lu	12.7	180 Lu	12.7	222 Hf	0.162		
43 Ca	Ca 0.135			103 Pd	27.33	Cd	1.25	181 Lu	12.7	182 Lu	12.7	223 Hf	5.206		
44 Ca	Ca 2.086			104 Pd	26.46	Cd	0.89	183 Lu	12.7	184 Lu	12.7	224 Hf	13.629		
45 Ti	Ti 8.0	Ca 0.004		105 Ag	51.839			185 Lu	12.7	186 Lu	12.7	225 Hf	35.100		
46 Ti	Ti 7.3	Ca 0.187		106 Pd	11.72	Cd	12.49	187 Lu	12.7	188 Lu	12.7	226 Hf	0.096		
47 Ti	Ti 73.8	Ca 0.187		107 Ag	48.161			189 Lu	12.7	190 Lu	12.7	227 Hf	0.096		
48 Ti	Ti 5.5	V 0.250	Cr 4.345	108 Pd	11.72	Cd	12.49	191 Lu	12.7	192 Lu	12.7	228 Hf	0.096		
49 Ti	Ti 5.4	V 99.750		109 Pd	11.72	Cd	12.49	193 Lu	12.7	194 Lu	12.7	229 Hf	0.096		
50 Mn	Mn 100			110 Pd	11.72	Cd	12.49	195 Lu	12.7	196 Lu	12.7	230 Hf	0.096		
51 Cr	Cr 83.789			111 Sn	0.97	Cd	12.49	197 Lu	12.7	198 Lu	12.7	231 U	0.055		
52 Cr	Cr 9.501			112 Sn	0.97	Cd	12.49	199 Lu	12.7	200 Lu	12.7	232 U	0.7200		
53 Cr	Cr 2.365			113 Sn	0.65	Cd	28.73	201 Lu	12.7	202 Lu	12.7	233 U	99.2745		
54 Fe	Fe 5.8			114 Sn	0.34	Cd	7.49	203 Lu	12.7	204 Lu	12.7	234 Pa	100		
55 Fe	Fe 91.72			115 Sn	14.53	Cd	7.49	205 Lu	12.7	206 Lu	12.7	235 Th	100		
56 Fe	Fe 2.2			116 Sn	7.68			207 Lu	12.7	208 Lu	12.7	236 Hf	100		
57 Fe	Fe 0.28			117 Sn	24.23			209 Lu	12.7	210 Lu	12.7	237 Hf	100		
58 Co	Co 100			118 Sn	8.59			211 Lu	12.7	212 Lu	12.7	238 Hf	100		
59 Ni	Ni 68.077			119 Sn	32.59	Te	0.096	213 Lu	12.7	214 Lu	12.7	239 Hf	100		
60 Ni	Ni 26.223			120 Sn	32.59	Te	0.096	215 Lu	12.7	216 Lu	12.7	240 Hf	100		

Przykład: wanad ma dwa izotopy ^{50}V i ^{51}V . Do analizy można użyć tylko masy 50 w obecności matrycy chlorkowej z powodu interferencji pochodzącej od jonu $^{16}\text{O}^{35}\text{Cl}$. Również masa ^{50}V (abundancja 0.25%) interferuje z izotopami tytanu i chromu co czyni analizę wanadu bardzo trudną w obecności tych pierwiastków. Konieczne są korekcie.

Sposoby kompensacji interferencji spektralnych

- (i) **wytrącanie i filtrowanie** przeszkadzających elementów matrycy;
- (ii) **wstępne wzbogacanie** próbek i usunięcie matrycy przy pomocy technik chromatograficznych;
- (iii) **równania korekcyjne**

Metoda polega na pomiarze intensywności piku od interferującego izotopu bądź molekuł poliatomowych dla innej masy, najlepiej wolnej od interferencji. Następnie wprowadzana jest korekcja, biorąc pod uwagę znany stosunek intensywności pików dla substancji interferującej, dla masy mierzonej i dla masy analizowanego elementu.

(iv) zastosowanie "zimnej" plazmy

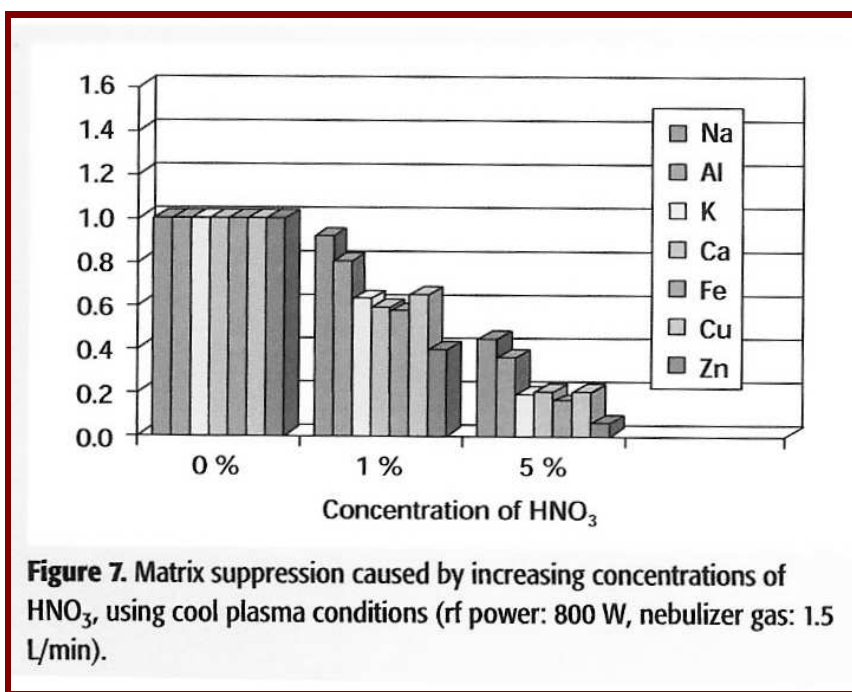
Zredukowanie mocy dostarczanej do pola RF z 1000-1400 W do 500-800 W, przy zwiększeniu przepływu gazu przez nebulizator (z 0.8-1.0 l/min do 1.5-1.8 l/min powoduje radykalne zmniejszenie się wielu interferencji spektralnych, związanych z gazem roboczym. Zastosowania zimnej plazmy są ograniczone do stosunkowo małe grupy elementów i roztworach wodnych.

(v) komory kolizyjno-reakcyjne

(vi) wykorzystanie separatorów masowych o wysokiej rozdzielczości

EFEKTY MATRYCY

Efekt matrycy polega na stłumieniu sygnału pochodzącego od badanego elementu przez różne efekty związane z matrycą (np. wpływ na temperaturę jonizacji w plazmie).



Usuwanie efektu matrycy – standardy wewnętrzne

W tej metodzie dodaje się niewielką liczbę elementów (na poziomie ppb) do próbek, standardów kalibracyjnych i próbek tłowych. Zmiana intensywności piku od standardu wewnętrznego jest wykorzystana do korekcji sygnału od analizowanego elementu.

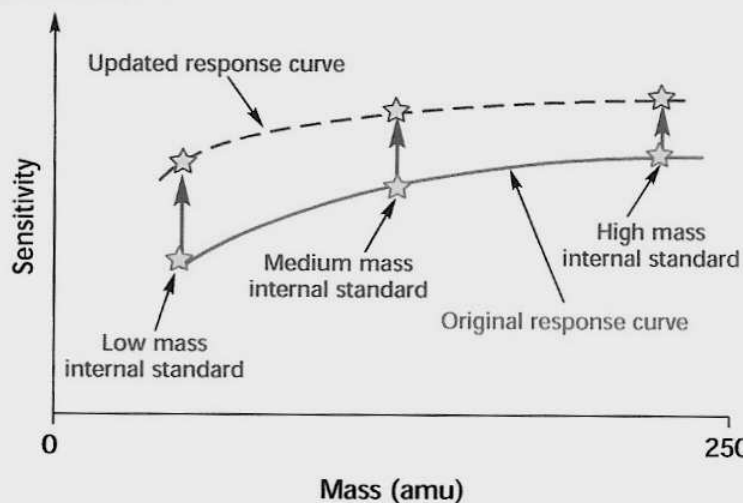


Figure 8. The analyte response curve is updated across the full mass range, based on the intensities of low, medium, and high mass internal standards.

INTERFERENCJE ZWIĄZANE Z ŁADUNKIEM PRZESTRZENNYM

Wczesne obserwacje wskazywały że stopień tłumienia sygnału jest funkcją liczby atomowej analizowanego elementu. Przyczyna tego zjawiska jest ładunek przestrzenny powodujący pogorszenie się warunków ogniskowania i prowadzenia wiązki jonowej.

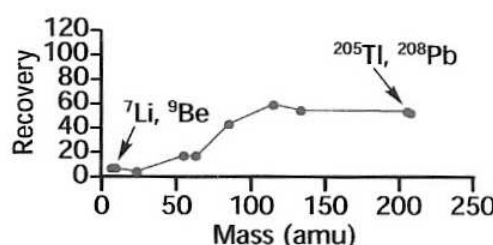


Figure 9. Space charge matrix suppression caused by 1000 ppm uranium is significantly higher on low mass elements Li and Be than it is with the high mass elements Tl and Pb.